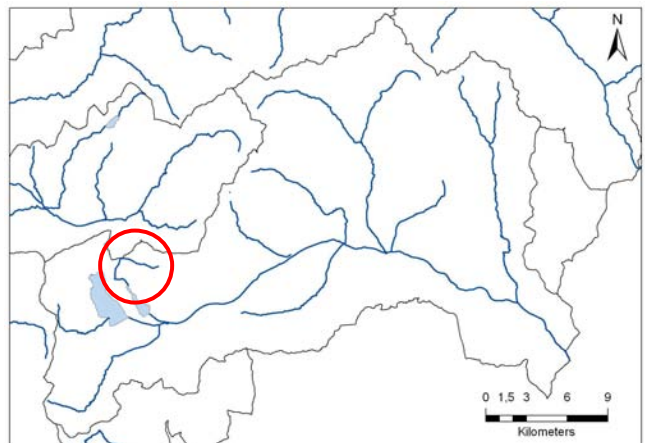
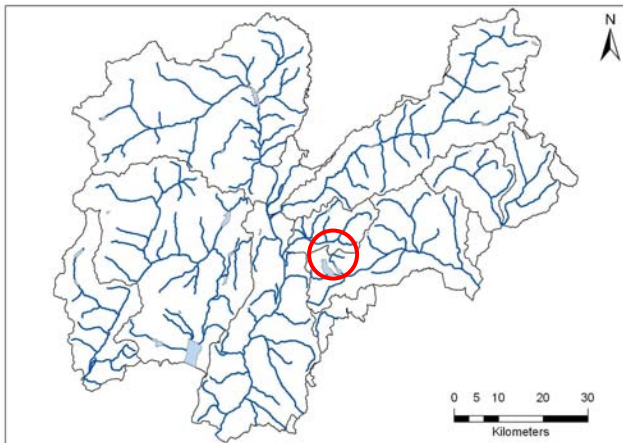


Rio Vignola



| Codice RASTA | Area bacino (Kmq) | Lunghezza totale (Km) |
|--------------|-------------------|-----------------------|
| BOZ1010000 | 8,4 | 5,9 |

Tabella 1: Punteggio, livello, giudizio IFF reale e relativo

| Descrizione tratto | | | | | | IFF reale | | | IFF relativo | | | |
|--------------------|----------|-------|----------------------------------|----------------------------------|----|-----------|--------|----------------|--------------|---------|----------|------------------|
| Codice | Data | L (m) | Inizio tratto | Fine tratto | Sp | Punt | Liv | Giud | CatFI | Punt FP | Frel (%) | Frel giud |
| VIGN001d | 4-ott-11 | 113 | Lago di Levico | Inizio campi/prati | dx | 211 | II | buono | PD | 300 | 70,3% | buono |
| VIGN001s | | | | | sx | 206 | II | buono | PD | 300 | 68,7% | buono |
| VIGN002d | 4-ott-11 | 183 | Inizio campi/prati | Fine campi | dx | 161 | III | mediocre | PD | 300 | 53,7% | mediocre |
| VIGN002s | | | | | sx | 176 | III | mediocre | PD | 300 | 58,7% | mediocre |
| VIGN003d | 4-ott-11 | 110 | Fine campi | Inizio muro di massi in destra | dx | 216 | II | buono | PD | 300 | 72,0% | buono |
| VIGN003s | | | | | sx | 191 | II-III | buono-mediocre | PD | 300 | 63,7% | buono-mediocre |
| VIGN004d | 4-ott-11 | 81 | Inizio muro di massi in destra | Fine muro in destra | dx | 187 | II-III | buono-mediocre | PD | 300 | 62,3% | buono-mediocre |
| VIGN004s | | | | | sx | 186 | II-III | buono-mediocre | PD | 300 | 62,0% | buono-mediocre |
| VIGN005d | 4-ott-11 | 241 | Fine muro in destra | Fine case/campi in sinistra | dx | 191 | II-III | buono-mediocre | PD | 300 | 63,7% | buono-mediocre |
| VIGN005s | | | | | sx | 181 | II-III | buono-mediocre | PD | 300 | 61,0% | buono-mediocre |
| VIGN006d | 4-ott-11 | 344 | Fine case/campi in sinistra | Inizio bosco inondab anche in dx | dx | 205 | II | buono | PD | 300 | 68,3% | buono |
| VIGN006s | | | | | sx | 235 | II | buono | PD | 300 | 78,3% | buono |
| VIGN007d | 4-ott-11 | 87 | Inizio bosco inondab anche in dx | Fine bosco inondab | dx | 245 | II | buono | PD | 300 | 81,7% | buono |
| VIGN007s | | | | | sx | 245 | II | buono | PD | 300 | 81,7% | buono |
| VIGN008d | 4-ott-11 | 127 | Fine bosco inondab | Fine acqua | dx | 166 | III | mediocre | FS | 265 | 62,6% | buono-mediocre |
| VIGN008s | | | | | sx | 166 | III | mediocre | FS | 265 | 62,6% | buono-mediocre |
| VIGN009d | 4-ott-11 | 2501 | Fine acqua | Inizio acqua | dx | | | n.r. | | | | n.r. |
| VIGN009s | | | | | sx | | | n.r. | | | n.r. | |
| VIGN010d | 4-ott-11 | 215 | Inizio acqua | Inizio muri/briglie | dx | 236 | II | buono | FS | 265 | 89,1% | ottimo |
| VIGN010s | | | | | sx | 236 | II | buono | FS | 265 | 89,1% | ottimo |
| VIGN011d | 4-ott-11 | 149 | Inizio muri/briglie | Fine muri/briglie | dx | 70 | IV | scadente | FS | 265 | 26,4% | scadente |
| VIGN011s | | | | | sx | 50 | V | pessimo | FS | 265 | 18,9% | scadente-pessimo |
| VIGN012d | 4-ott-11 | 487 | Fine muri/briglie | Inizio briglie ravvicinate | dx | 171 | III | mediocre | FS | 265 | 64,5% | buono-mediocre |
| VIGN012s | | | | | sx | 171 | III | mediocre | FS | 265 | 64,5% | buono-mediocre |
| VIGN013d | 4-ott-11 | 319 | Inizio briglie ravvicinate | Fine briglie ravvicinate | dx | 134 | III | mediocre | FS | 265 | 50,6% | mediocre |
| VIGN013s | | | | | sx | 167 | III | mediocre | FS | 265 | 63,0% | buono-mediocre |
| VIGN014d | 4-ott-11 | 856 | Fine briglie ravvicinate | Fine acqua | dx | 231 | II | buono | MT | 256 | 90,2% | ottimo |

| | | | | | | | | | | | | |
|----------|----------|-----|------------|------------------|----|-----|----|--------------|----|-----|-------|---------------|
| VIGN014s | | | | | sx | 231 | II | buono | MT | 256 | 90,2% | ottimo |
| VIGN015d | 4-ott-11 | 161 | Fine acqua | Fine rilevamento | dx | | | n.r. | | | | n.r. |
| VIGN015s | | | | | sx | | | n.r. | | | | n.r. |

Mappe di funzionalità fluviale reale e relativa

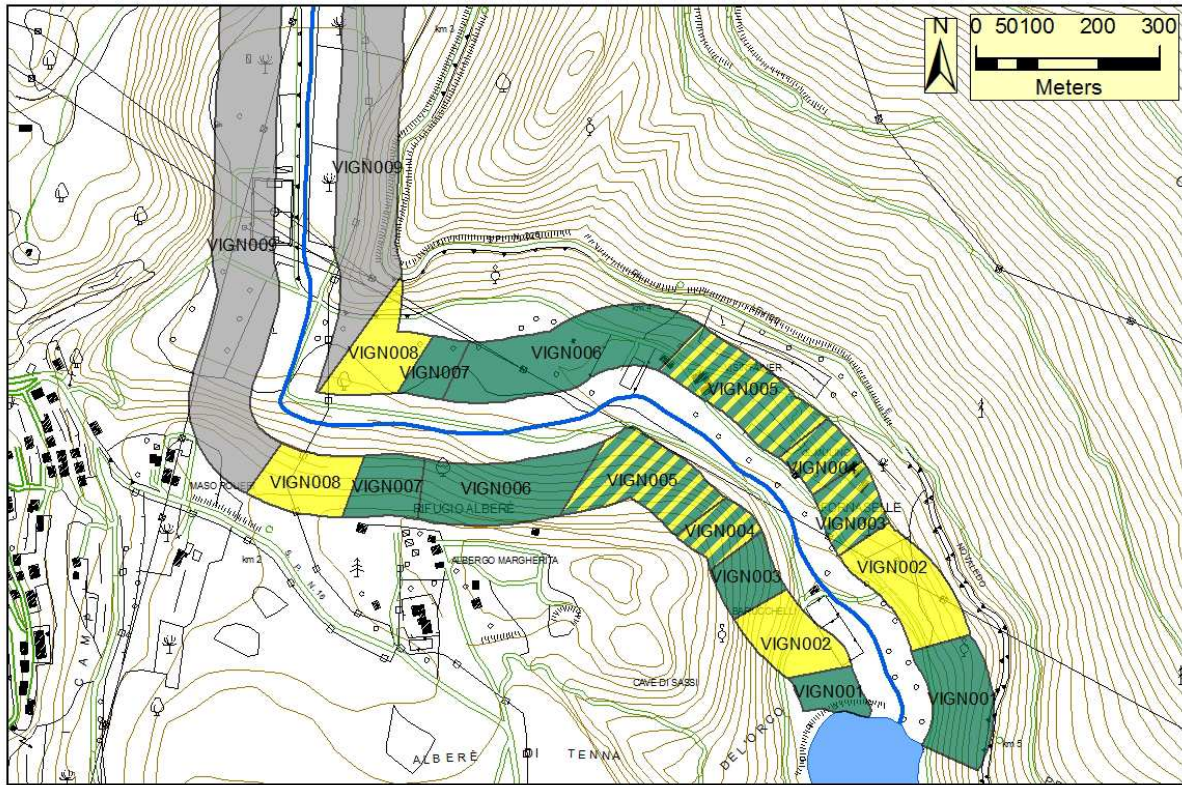


Figura 1a: Cartografia dei risultati IFF reale

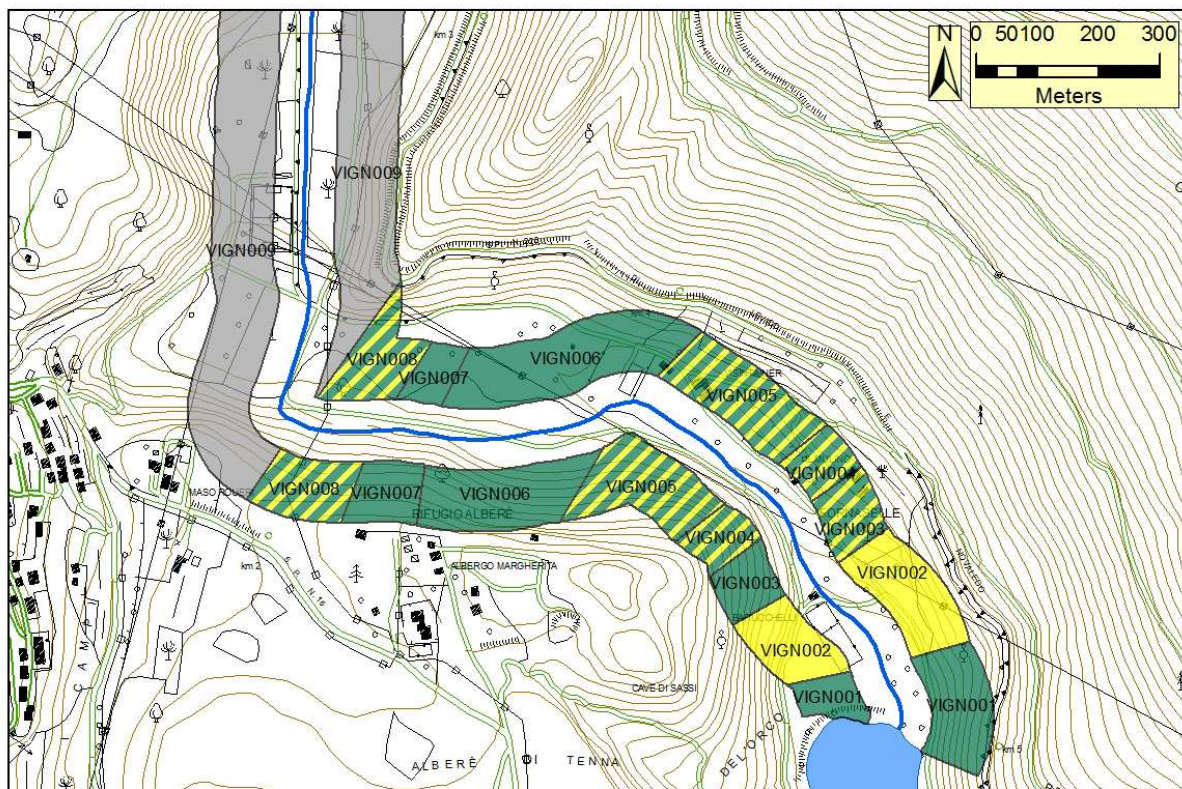


Figura 1b: Cartografia dei risultati IFF relativo



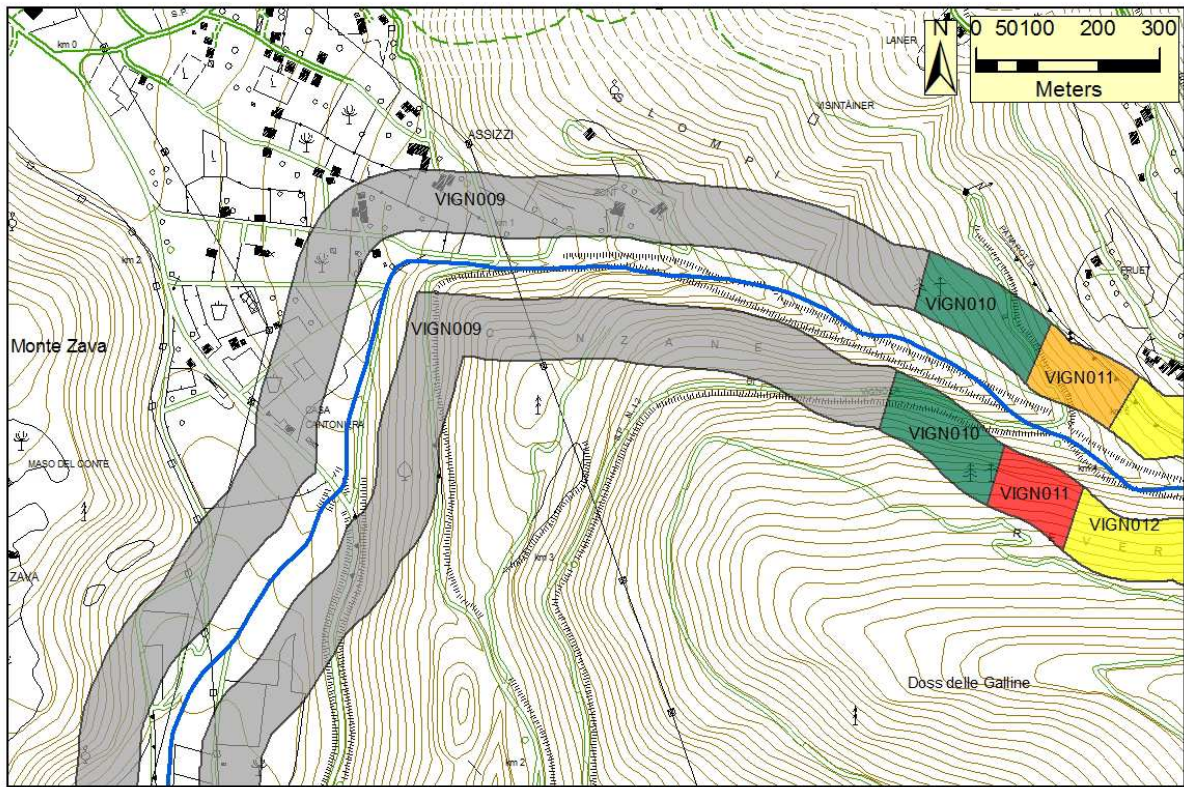


Figura 2a: Cartografia dei risultati IFF reale

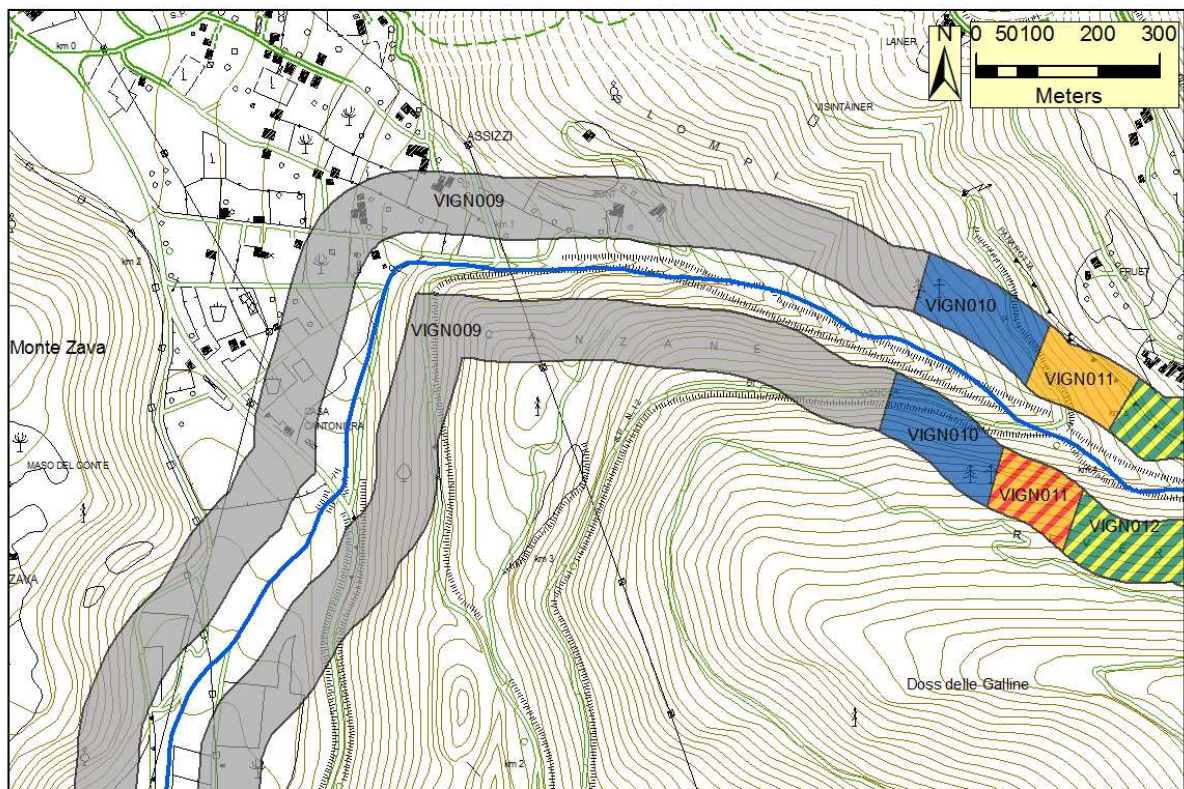


Figura 2b: Cartografia dei risultati IFF relativo



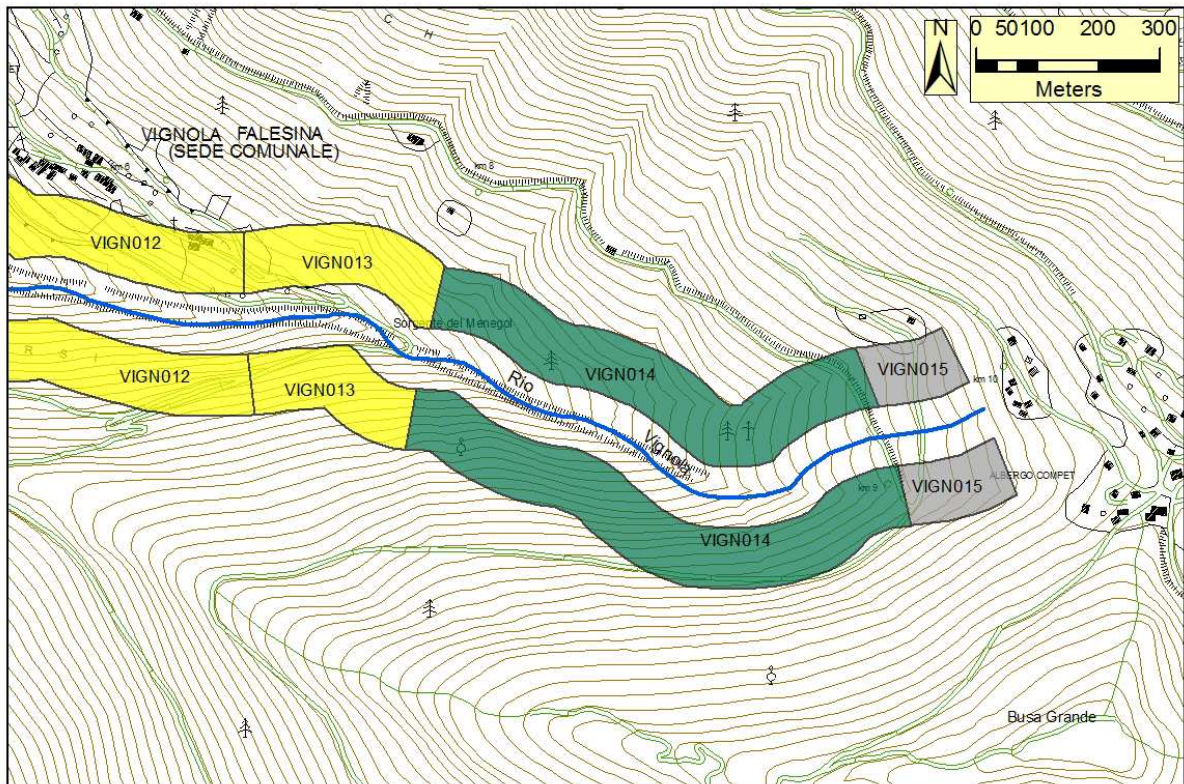


Figura 3a: Cartografia dei risultati IFF reale

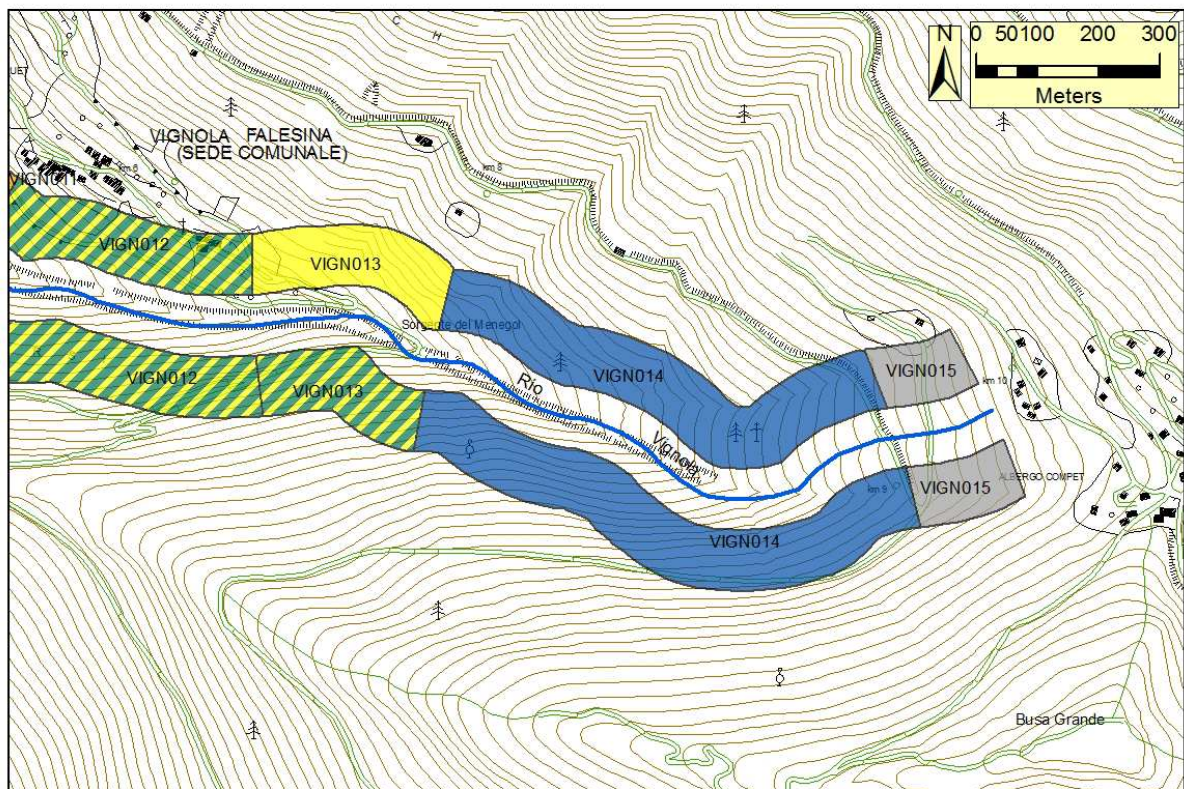


Figura 3b: Cartografia dei risultati IFF relativo



Documentazione fotografica e descrizione dei tratti

VIGN001

| VIGN001 | 1 | 2 | 2b | 3 | 4 | 5 | 6 | 7 | 8 | 9 | 10 | 11 | 12 | 13 | 14 | IFF | |
|---------|-----|-----|-----|-----|-----|-----|-----|-----|-----|-----|-----|-----|-----|-----|-----|-----------|---------|
| | TER | VP1 | VP2 | AMP | CON | CID | ESO | RIT | ERO | SEZ | ITT | IDR | CVA | DET | MBT | Punteggio | Livello |
| Dx | 25 | 25 | | 15 | 15 | 10 | 1 | 5 | 20 | 20 | 20 | 5 | 15 | 15 | 20 | 211 | II |
| Sx | 20 | 25 | | 15 | 15 | 10 | 1 | 5 | 20 | 20 | 20 | 5 | 15 | 15 | 20 | 206 | II |

Confluenza nel lago di Levico - inizio campi/prati; lung: 113 m



Il primo tratto del rio Vignola inizia alla confluenza nel lago di Levico e scorre in un ambiente circostante privo di antropizzazione in sponda destra mentre in sinistra vi sono alcune praterie di origine antropica. La fascia perifluviale è costituita, in entrambe le sponde, da formazioni arboree di essenze riparie (ontano nero) con estensione superiore ai 30 metri e discontinuità inferiori al 10%. Le variazioni di portata stagionali appaiono naturaliformi amplificate da prelievi a scopo idropotabile posti a monte. L'efficienza di esondazione è limitata, con alveo di piena ordinaria inferiore ad il doppio dell'alveo di morbida. Il substrato dell'alveo presenta scarsa diversificazione con poche strutture di ritenzione della sostanza organica. L'erosione è assente e la sezione trasversale è integra ad elevata diversità ambientale. L'idoneità ittica risulta buona per



l'abbondante ombreggiatura e la discreta disponibilità di cibo. Per quanto riguarda l'idromorfologia vi è la predominanza di un solo elemento. Il periphyton è sottile e non vi sono macrofite tolleranti. Il



detrito è costituito da frammenti vegetali riconoscibili e fibrosi (foto sopra). Nel campionamento della comunità macrobentonica sono stati rinvenuti Plecotteri della fam. Nemuridae (foto a lato) e Leuctridae, Efemerotteri Baetidae, Ditteri Simuliidae, Coleotteri e Tricladi.

VIGN002

| VIGN002 | 1 | 2 | 2b | 3 | 4 | 5 | 6 | 7 | 8 | 9 | 10 | 11 | 12 | 13 | 14 | IFF | |
|---|-----|-----|-----|-----|-----|-----|-----|-----|-----|-----|-----|-----|-----|-----|-----|-----------|---------|
| | TER | VP1 | VP2 | AMP | CON | CID | ESO | RIT | ERO | SEZ | ITT | IDR | CVA | DET | MBT | Punteggio | Livello |
| Dx | 5 | 10 | | 5 | 15 | 10 | 1 | 5 | 15 | 20 | 20 | 5 | 15 | 15 | 20 | 161 | III |
| Sx | 5 | 25 | | 10 | 10 | 10 | 1 | 5 | 15 | 20 | 20 | 5 | 15 | 15 | 20 | 176 | III |
| Inizio campi/prati - fine campi; lungh: 183 m | | | | | | | | | | | | | | | | | |

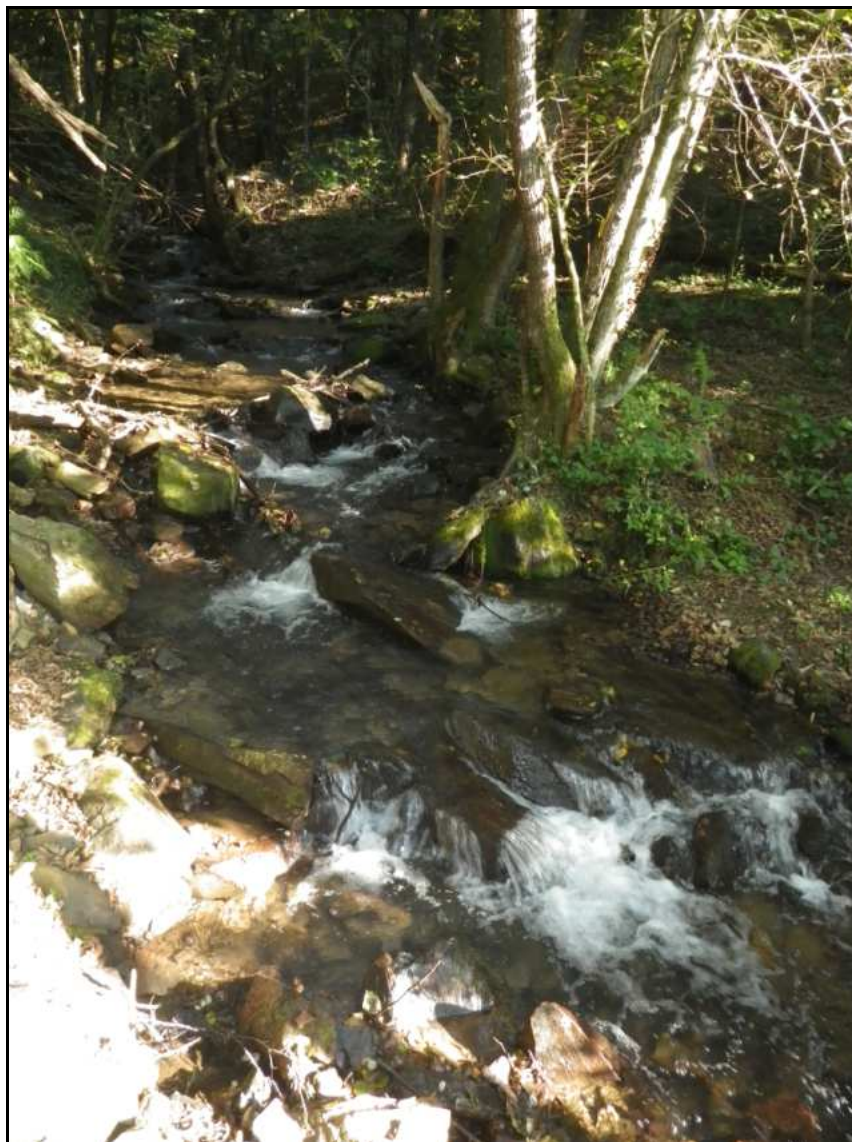


Il corso d'acqua presenta, sia in destra che in sinistra, un territorio circostante caratterizzato da colture stagionali. La fascia perfluviale sinistra continua con la stessa tipologia vegetazionale del tratto precedente pur avendo ampiezza limitata (compresa tra 30 e 10 metri) dalla presenza di una strada e prati che determinano il limite esterno della formazione riparia; in sponda destra, invece, si insedia una bordura riparia di ontani con ampiezza compresa tra 10 e 2 metri limitata dai campi (incolti al momento del rilevamento). È presente una limitata incisione verticale delle rive mentre le altre caratteristiche funzionali non variano rispetto al primo tratto.

VIGN003

| VIGN003 | 1 | 2 | 2b | 3 | 4 | 5 | 6 | 7 | 8 | 9 | 10 | 11 | 12 | 13 | 14 | IFF | |
|---------|-----|-----|-----|-----|-----|-----|-----|-----|-----|-----|-----|-----|-----|-----|-----|-----------|---------|
| | TER | VP1 | VP2 | AMP | CON | CID | ESO | RIT | ERO | SEZ | ITT | IDR | CVA | DET | MBT | Punteggio | Livello |
| Dx | 25 | 10 | | 15 | 15 | 10 | 1 | 15 | 20 | 20 | 20 | 15 | 15 | 15 | 20 | 216 | II |
| Sx | 5 | 10 | | 10 | 15 | 10 | 1 | 15 | 20 | 20 | 20 | 15 | 15 | 15 | 20 | 191 | II-III |

Fine campi - inizio muro di massi in destra; lungh: 110 m



Il territorio circostante, in sponda sinistra, mostra urbanizzazione rada mentre in destra prevale il bosco di latifoglie. La fascia perfluviale è costituita prevalentemente da essenze arboree non riparie (faggio e nocciolo) che si estendono oltre i 30 metri in destra, mentre, in sinistra, l'estensione è compresa tra 30 e 10 metri. Il fondo dell'alveo appare ora maggiormente differenziato (ciottoli e massi incassati) con discrete strutture ritentive. L'erosione è presente ma localizzata solo all'esterno delle curve. Le altre caratteristiche funzionali non variano rispetto al tratto a valle, eccezion fatta per l'idromorfologia, contraddistinta ora da elementi idromorfologici ben distinti (step&pool) posti a distanza irregolare.

VIGN004

| VIGN004 | 1 | 2 | 2b | 3 | 4 | 5 | 6 | 7 | 8 | 9 | 10 | 11 | 12 | 13 | 14 | IFF | |
|---------|-----|-----|-----|-----|-----|-----|-----|-----|-----|-----|-----|-----|-----|-----|-----|-----------|---------|
| | TER | VP1 | VP2 | AMP | CON | CID | ESO | RIT | ERO | SEZ | ITT | IDR | CVA | DET | MBT | Punteggio | Livello |
| Dx | 25 | 10 | | 15 | 10 | 10 | 1 | 15 | 1 | 15 | 20 | 15 | 15 | 15 | 20 | 187 | II-III |
| Sx | 5 | 10 | | 10 | 15 | 10 | 1 | 15 | 20 | 15 | 20 | 15 | 15 | 15 | 20 | 186 | II-III |

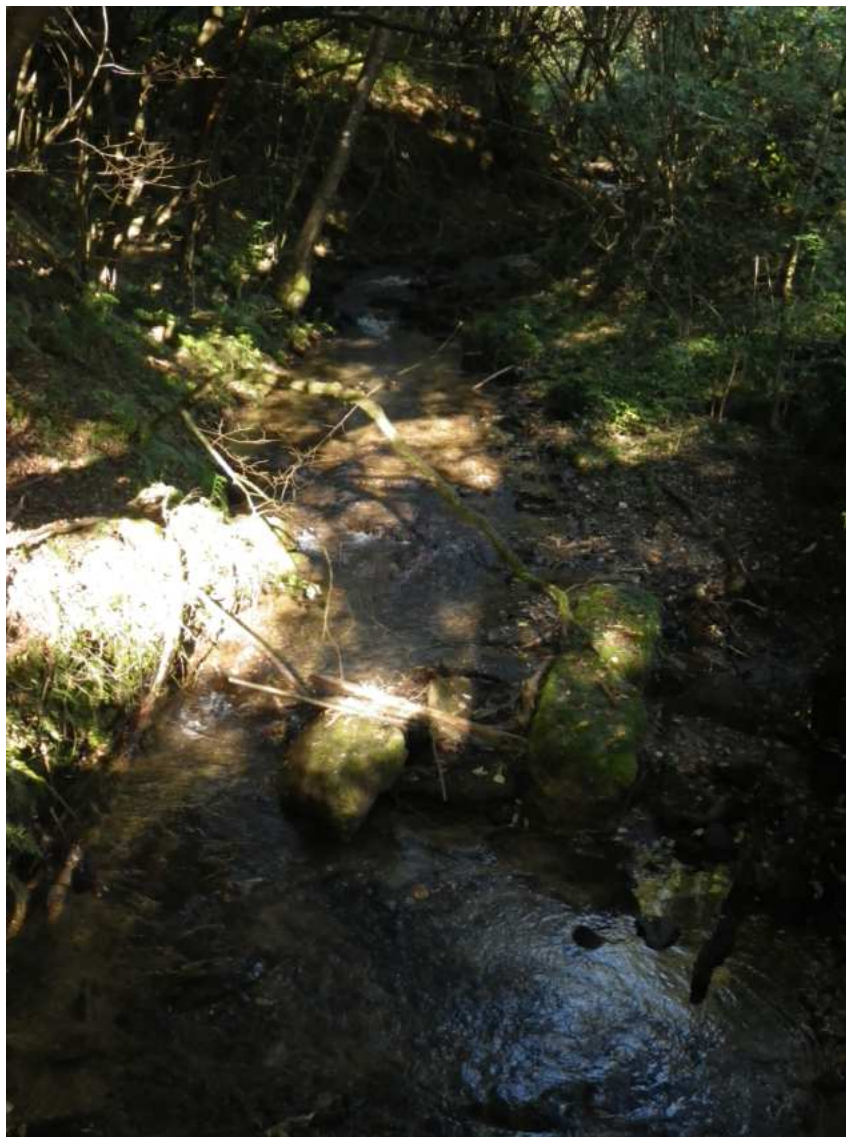
Inizio muro di massi in destra - fine muro in destra; lungh: 81 m



In sponda destra è presente una scogliera permeabile a scopo antierosivo che penalizza il punteggio a attribuito alle domande 8) erosione e 9) sezione trasversale. La fascia perifluviale, sempre costituita da essenze arboree non riparie, non varia rispetto al tratto precedente anche se, un sentiero sterrato presente in destra crea delle discontinuità nella copertura vegetazionale comprese tra il 10 ed il 25%.

VIGN005

| VIGN005 | 1 | 2 | 2b | 3 | 4 | 5 | 6 | 7 | 8 | 9 | 10 | 11 | 12 | 13 | 14 | IFF | |
|---|-----|-----|-----|-----|-----|-----|-----|-----|-----|-----|-----|-----|-----|-----|-----|-----------|---------|
| | TER | VP1 | VP2 | AMP | CON | CID | ESO | RIT | ERO | SEZ | ITT | IDR | CVA | DET | MBT | Punteggio | Livello |
| Dx | 25 | 10 | | 15 | 15 | 10 | 1 | 5 | 15 | 20 | 20 | 5 | 15 | 15 | 20 | 191 | II-III |
| Sx | 5 | 25 | | 10 | 15 | 10 | 1 | 5 | 15 | 20 | 20 | 5 | 15 | 15 | 20 | 181 | II-III |
| Fine muro in destra - fine case/campi in sinistra; lungh: 241 m | | | | | | | | | | | | | | | | | |



La vegetazione della fascia perfluviale sinistra è costituita da una formazione arbustiva di essenze riparie (ontani) d'ampiezza compresa tra 30 e 10 metri, mentre, in sponda sinistra, si insedia una bordura di ontani seguita dalla formazione arborea autoctona non riparia (noccioli) senza limitazioni d'ampiezza né interruzioni. Il fondo dell'alveo presenta limitata diversificazione con scarse strutture di ritenzione. I fenomeni erosivi, sebbene non frequenti, sono presenti anche lungo i tratti rettilinei, con limitata incisione verticale del percorso. La sezione trasversale è integra con alta diversità morfologica. Per quanto riguarda l'idromorfologia vi è la predominanza di un solo elemento.

VIGN006

| VIGN006 | 1 | 2 | 2b | 3 | 4 | 5 | 6 | 7 | 8 | 9 | 10 | 11 | 12 | 13 | 14 | IFF | Livello |
|---------|-----|-----|-----|-----|-----|-----|-----|-----|-----|-----|-----|-----|-----|-----|-----|-----------|---------|
| | TER | VP1 | VP2 | AMP | CON | CID | ESO | RIT | ERO | SEZ | ITT | IDR | CVA | DET | MBT | Punteggio | |
| Dx | 25 | 10 | | 15 | 15 | 10 | 25 | 5 | 20 | 20 | 20 | 5 | 15 | 15 | 5 | 205 | II |
| Sx | 25 | 40 | | 15 | 15 | 10 | 25 | 5 | 20 | 20 | 20 | 5 | 15 | 15 | 5 | 235 | II |

Fine case/campi in sinistra - inizio bosco inondato anche in destra; lungh: 344 m



Il tratto VIGN006 scorre in un territorio caratterizzato da bosco inondato (ontani, salici erbacee igrofile) in sponda sinistra, laddove, in destra, è presente una bordura di essenze riparie in continuità con la formazione arborea autoctona non riparia. Il corso d'acqua, non confinato da opere spondali, in caso di piena può liberamente esondare andando ad occupare parte del bosco. L'erosione è assente e la sezione trasversale integra. Nel campionamento della comunità macrobentonica sono stati rinvenuti Efemerotteri Baetidae e scarsi Heptagenidae, Ditteri Chironomidae. La comunità appare quindi poco equilibrata e diversificata con prevalenza di taxa tolleranti, probabilmente a causa del fondo dell'alveo, in prevalenza limoso, privo quindi delle caratteristiche necessarie per l'insediamento di una comunità macrobentonica ben strutturata e diversificata.

VIGN007

| VIGN007 | 1 | 2 | 2b | 3 | 4 | 5 | 6 | 7 | 8 | 9 | 10 | 11 | 12 | 13 | 14 | IFF | |
|---------|-----|-----|-----|-----|-----|-----|-----|-----|-----|-----|-----|-----|-----|-----|-----|-----------|---------|
| | TER | VP1 | VP2 | AMP | CON | CID | ESO | RIT | ERO | SEZ | ITT | IDR | CVA | DET | MBT | Punteggio | Livello |
| Dx | 25 | 40 | | 15 | 15 | 10 | 25 | 5 | 20 | 20 | 20 | 15 | 15 | 15 | 5 | 245 | II |
| Sx | 25 | 40 | | 15 | 15 | 10 | 25 | 5 | 20 | 20 | 20 | 15 | 15 | 15 | 5 | 245 | II |

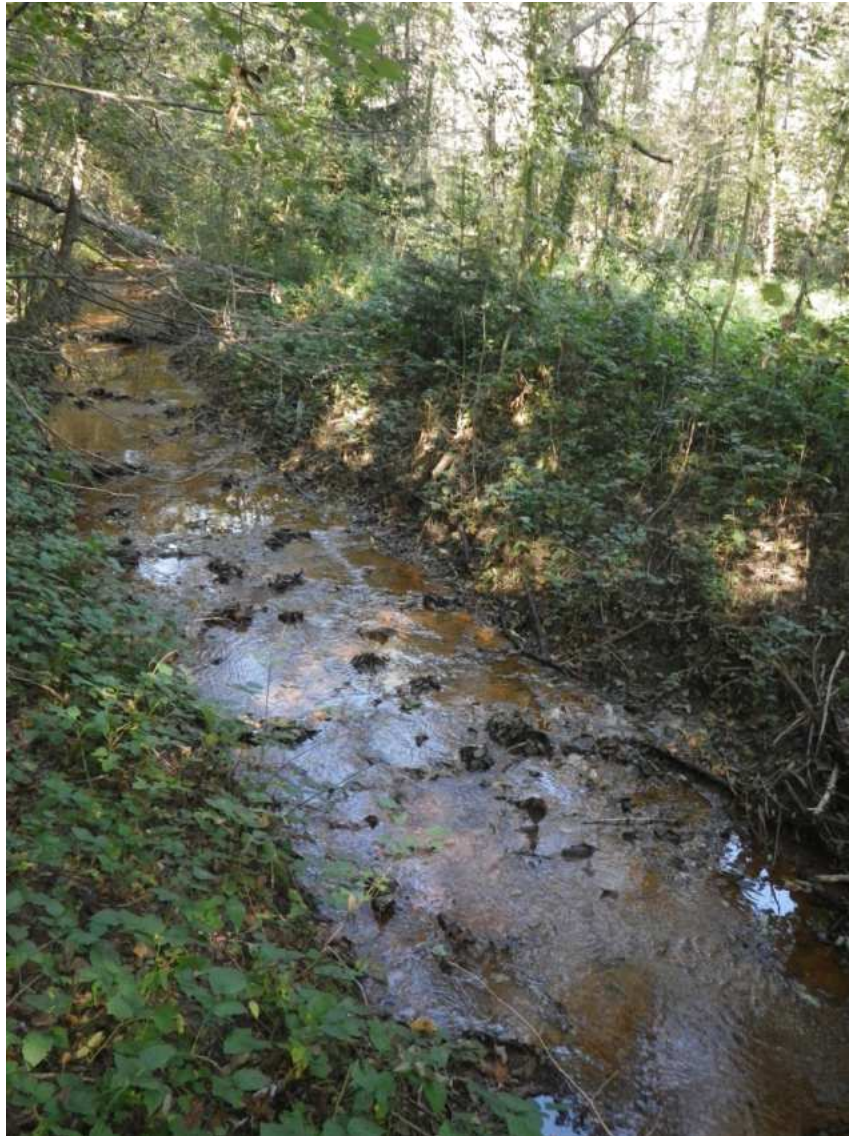
Inizio bosco inondato anche in destra - fine bosco inondato; lungh: 87 m



Il bosco inondato, presente nel tratto a valle solo in sponda sinistra, si estende ora oltre il 30 metri su entrambe le sponde; il tratto presenta inoltre un'elevata sinuosità. Le altre caratteristiche funzionali non variano rispetto al tratto a valle.

VIGN008

| VIGN008 | 1 | 2 | 2b | 3 | 4 | 5 | 6 | 7 | 8 | 9 | 10 | 11 | 12 | 13 | 14 | IFF | |
|--|-----|-----|-----|-----|-----|-----|-----|-----|-----|-----|-----|-----|-----|-----|-----|-----------|---------|
| | TER | VP1 | VP2 | AMP | CON | CID | ESO | RIT | ERO | SEZ | ITT | IDR | CVA | DET | MBT | Punteggio | Livello |
| Dx | 25 | 25 | | 15 | 15 | 10 | 1 | 5 | 5 | 20 | 5 | 5 | 15 | 15 | 5 | 166 | III |
| Sx | 25 | 25 | | 15 | 15 | 10 | 1 | 5 | 5 | 20 | 5 | 5 | 15 | 15 | 5 | 166 | III |
| Fine bosco inondato - fine acqua; lungh: 127 m | | | | | | | | | | | | | | | | | |



Il bosco inondato presente nel precedente tratto è sostituito da formazioni arboree riparie in successione a formazioni arboree autoctone non riparie senza limitazioni d'ampiezza ne discontinuità. L'efficienza d'esondazione è limitata e l'erosione è frequente con evidente incisione verticale del percorso. L'idoneità ittica risulta poco sufficiente a causa delle scarsa disponibilità di zone rifugio e cibo.

VIGN009

Fine acqua – inizio acqua.

Tratto non rilevato poiché privo d'acqua.

Lungh: 2501 m



VIGN010

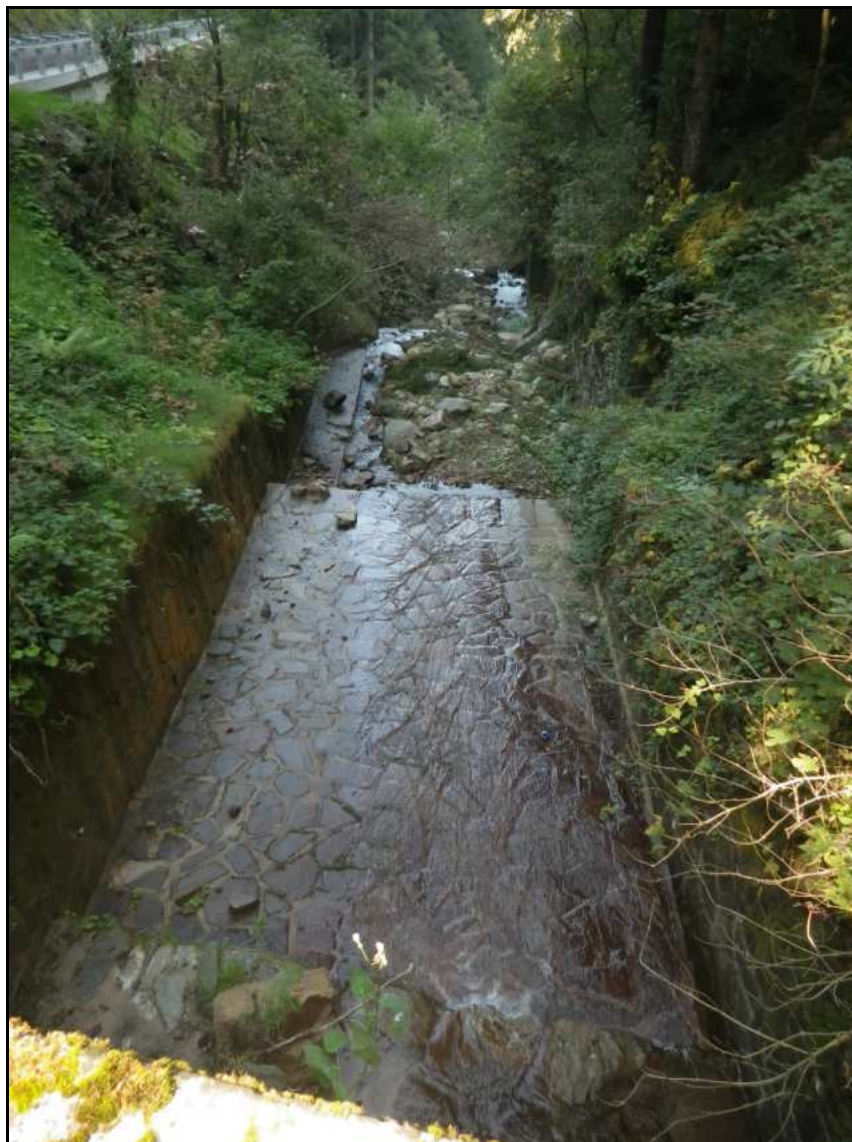
| VIGN010 | 1 | 2 | 2b | 3 | 4 | 5 | 6 | 7 | 8 | 9 | 10 | 11 | 12 | 13 | 14 | IFF | |
|--|-----|-----|-----|-----|-----|-----|-----|-----|-----|-----|-----|-----|-----|-----|-----|-----------|---------|
| | TER | VP1 | VP2 | AMP | CON | CID | ESO | RIT | ERO | SEZ | ITT | IDR | CVA | DET | MBT | Punteggio | Livello |
| Dx | 25 | 10 | | 15 | 15 | 20 | 1 | 25 | 20 | 20 | 20 | 15 | 15 | 15 | 20 | 236 | II |
| Sx | 25 | 10 | | 15 | 15 | 20 | 1 | 25 | 20 | 20 | 20 | 15 | 15 | 15 | 20 | 236 | II |
| Inizio acqua - inizio muri/briglie; lungh: 215 m | | | | | | | | | | | | | | | | | |



Questo tratto percorre un territorio privo di antropizzazione; la fascia perfluviale è costituita da formazioni arboree autoctone non riparie che si sviluppano per più di 30 metri senza discontinuità. La valle a V in cui scorre il corso d'acqua non permette l'esonazione durante i fenomeni di piena. Il substrato dell'alveo è diversificato, con ciottoli e massi incassati che permettono la ritenzione della sostanza organica, fonte di cibo per la comunità macrobentonica, che infatti risulta ben strutturata e diversificata, adatta alla tipologia fluviale. La sezione trasversale è integra. Gli elementi idromorfologici sono ben distinti (step&pool) posti a distanza irregolare. L'idoneità ittica risulta buona per l'abbondante disponibilità di zone rifugio ed ombreggiatura; vi è da segnalare un salto naturale non superabile dai pesci.

VIGN011

| VIGN011 | 1 | 2 | 2b | 3 | 4 | 5 | 6 | 7 | 8 | 9 | 10 | 11 | 12 | 13 | 14 | IFF | |
|---|-----|-----|-----|-----|-----|-----|-----|-----|-----|-----|-----|-----|-----|-----|-----|-----------|---------|
| | TER | VP1 | VP2 | AMP | CON | CID | ESO | RIT | ERO | SEZ | ITT | IDR | CVA | DET | MBT | Punteggio | Livello |
| Dx | 25 | | 1 | 1 | 1 | 5 | 1 | 1 | 1 | 1 | 1 | 1 | 15 | 15 | 1 | 70 | IV |
| Sx | 5 | | 1 | 1 | 1 | 5 | 1 | 1 | 1 | 1 | 1 | 1 | 15 | 15 | 1 | 50 | V |
| Inizio muri/briglie - fine muri/briglie; lungh: 149 m | | | | | | | | | | | | | | | | | |

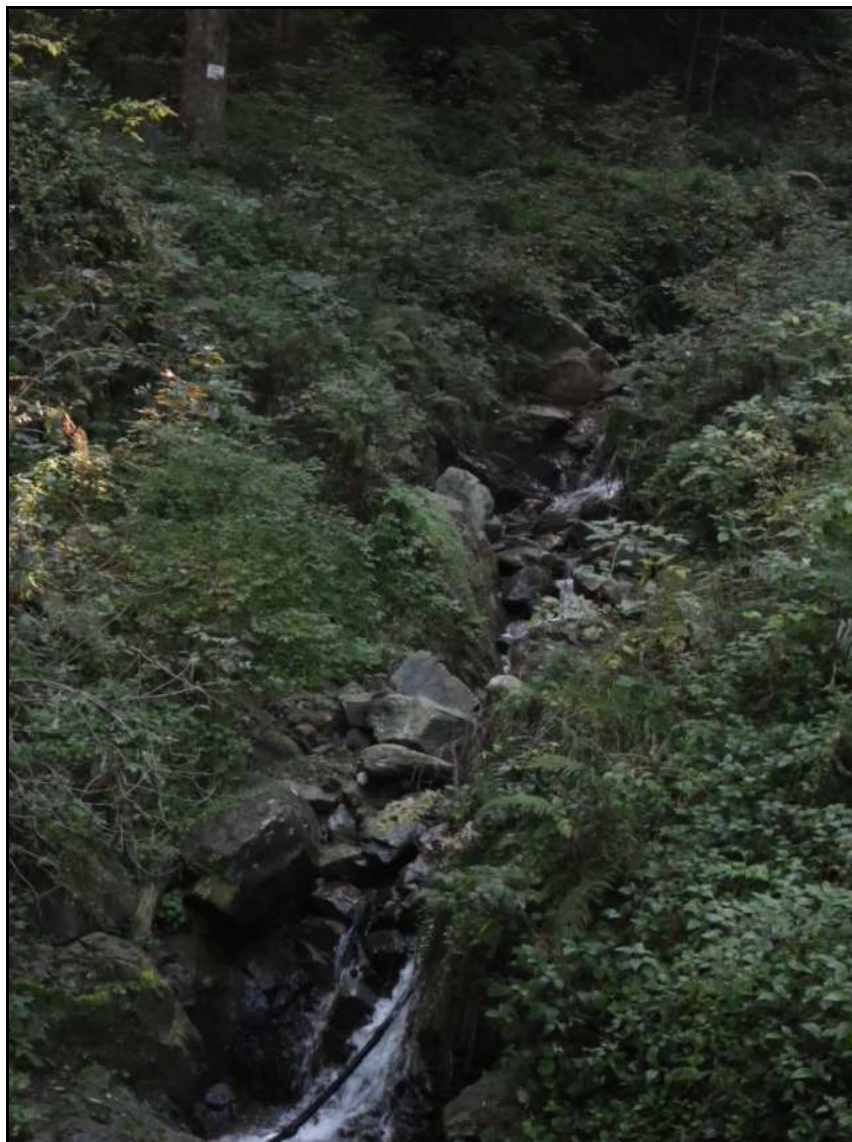


Il territorio circostante si presenta privo di antropizzazione in sponda destra mentre in sinistra vi è urbanizzazione rada. La funzionalità fluviale del tratto è fortemente compromessa per l'elevato grado di artificializzazione del corso d'acqua, gli argini ed il fondo sono completamente cementati per cui vi è assenza di elementi idromorfologici diversificati e la sezione trasversale è totalmente alterata rispetto all'assetto naturale. Non c'è distinzione di ampiezza fra alveo bagnato, di morbida e di piena, con le piene a variare è solamente il battente d'acqua, anziché l'ampiezza dell'alveo. Il fondo uniforme non permette lo sviluppo di una comunità macrobentonica ben strutturata e nemmeno della comunità ittica (foto scattata verso valle).

VIGN012

| VIGN012 | 1 | 2 | 2b | 3 | 4 | 5 | 6 | 7 | 8 | 9 | 10 | 11 | 12 | 13 | 14 | IFF | |
|---------|-----|-----|-----|-----|-----|-----|-----|-----|-----|-----|-----|-----|-----|-----|-----|-----------|---------|
| | TER | VP1 | VP2 | AMP | CON | CID | ESO | RIT | ERO | SEZ | ITT | IDR | CVA | DET | MBT | Punteggio | Livello |
| Dx | 5 | 10 | | 15 | 15 | 20 | 1 | 15 | 5 | 15 | 5 | 15 | 15 | 15 | 20 | 171 | III |
| Sx | 5 | 10 | | 15 | 15 | 20 | 1 | 15 | 5 | 15 | 5 | 15 | 15 | 15 | 20 | 171 | III |

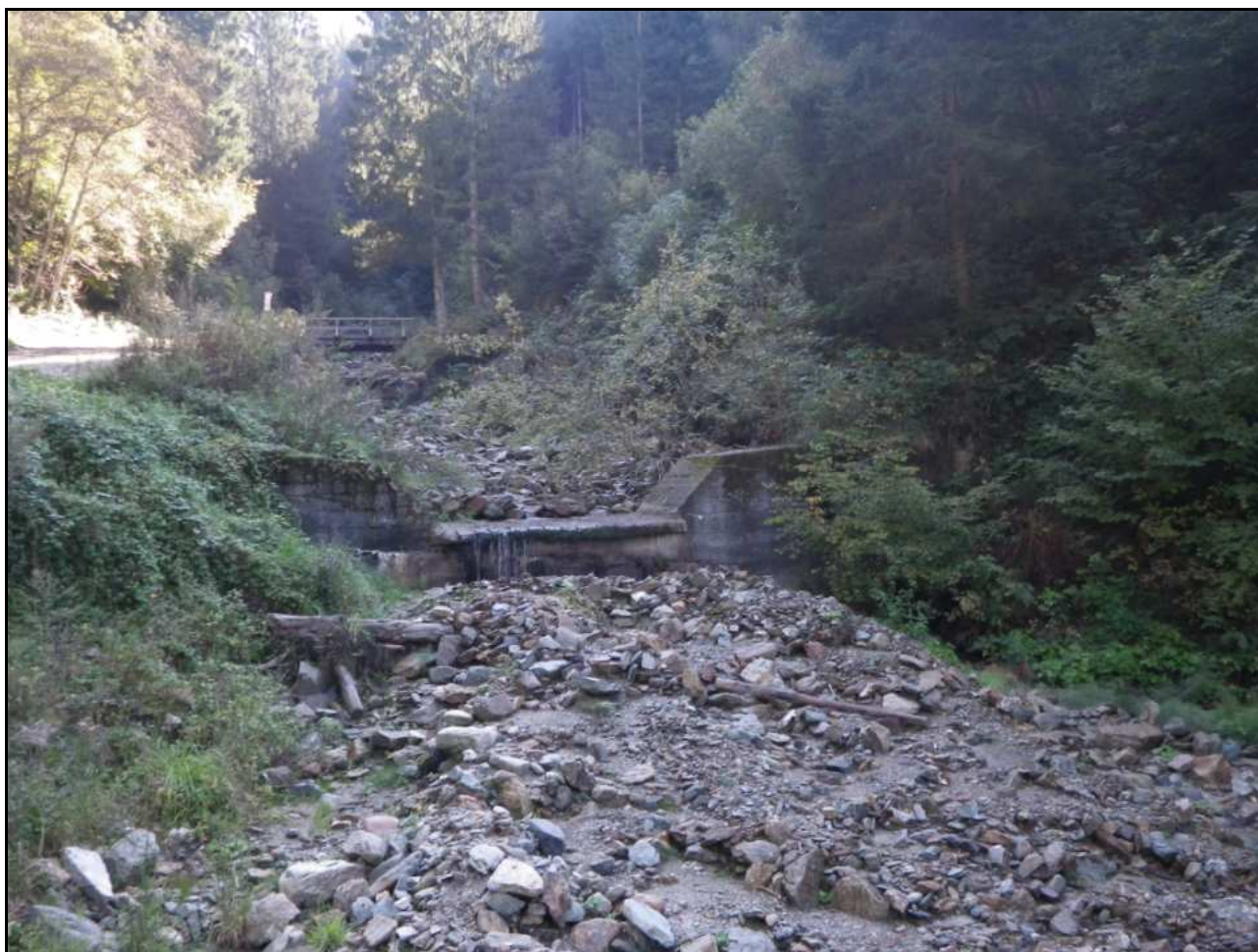
Fine muri/briglie - inizio briglie ravvicinate; lungh: 487 m



Il territorio circostante presenta, in entrambe le sponde, urbanizzazione rada. La fascia perifluviale è costituita da formazioni arboree di essenze non riparie senza limitazioni d'ampiezza né interruzioni. Le portate sono stabili su scala giornaliera con portate stagionali non estreme. Il substrato dell'alveo è diversificato, con ciottoli e massi incassati con discrete strutture di ritenzione. È presente una serie di briglie poste tra loro a distanza maggiore di 3 volte l'alveo di morbida che portano alla penalizzazione dei punteggi attribuiti alle domande 8) erosione 9) sezione trasversale e 10) idoneità ittica (altezza briglie >1 m).

VIGN013

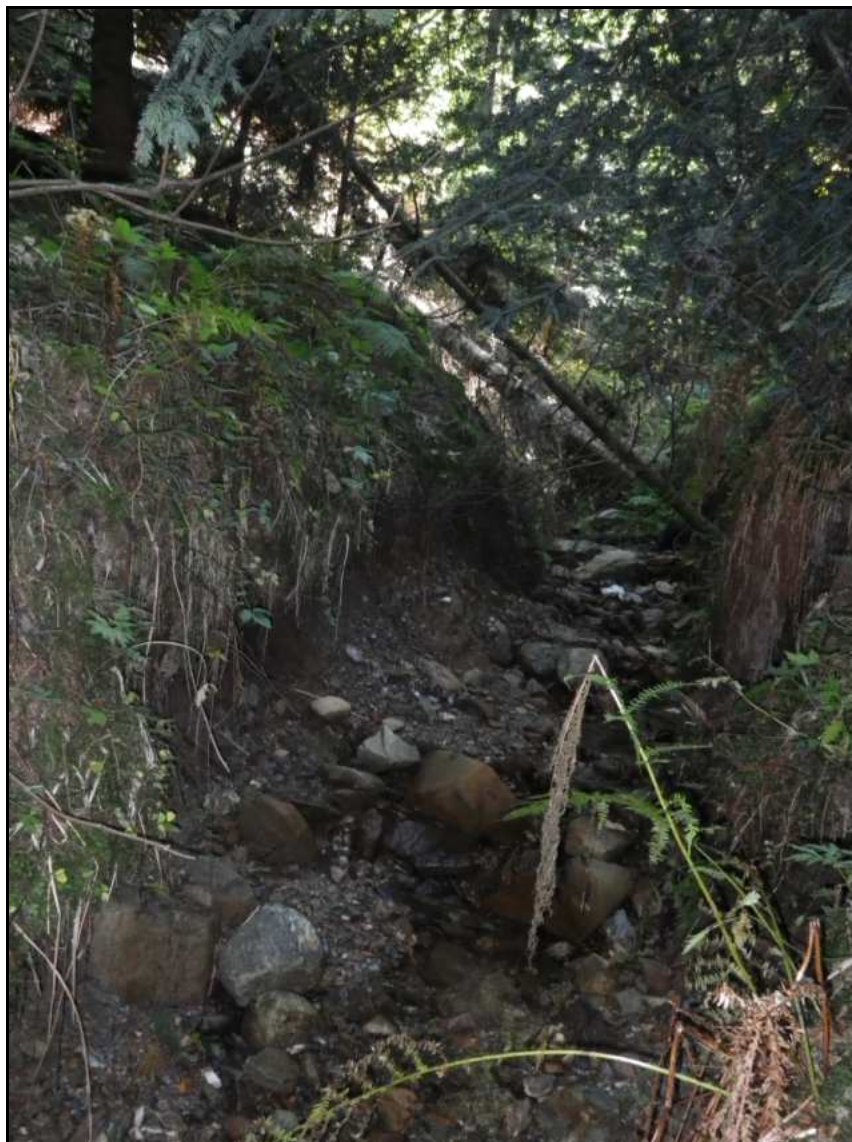
| VIGN013 | 1 | 2 | 2b | 3 | 4 | 5 | 6 | 7 | 8 | 9 | 10 | 11 | 12 | 13 | 14 | IFF | |
|---|-----|-----|-----|-----|-----|-----|-----|-----|-----|-----|-----|-----|-----|-----|-----|-----------|---------|
| | TER | VP1 | VP2 | AMP | CON | CID | ESO | RIT | ERO | SEZ | ITT | IDR | CVA | DET | MBT | Punteggio | Livello |
| Dx | 25 | 1 | | 1 | 5 | 20 | 1 | 15 | 1 | 5 | 5 | 5 | 15 | 15 | 20 | 134 | III |
| Sx | 25 | 10 | | 15 | 15 | 20 | 1 | 15 | 1 | 5 | 5 | 5 | 15 | 15 | 20 | 167 | III |
| Inizio briglie ravvicinate - fine briglie ravvicinate; lungh: 319 m | | | | | | | | | | | | | | | | | |



Il tratto è caratterizzato dalla presenza di una successione di briglie ravvicinate (con distanza tra loro minore di 3 volte la larghezza dell'alveo di morbida), finalizzate a ridurre la forza erosiva attraverso la riduzione di pendenza e di velocità dell'acqua; inoltre la sequenza di briglie banalizza la sezione trasversale compromettendone la funzionalità. La fascia perfluviale destra è costituita da una formazione arborea autoctona non riparia (abeti rossi) senza limiti d'ampiezza né discontinuità; al contrario, in sinistra si insedia una bordura non funzionale di arbusti infestanti (rovi). Il substrato, costituito da ciottoli e massi presenta discrete strutture di ritenzione della sostanza organica. Gli elementi idromorfologici vengono banalizzati dalla serie di briglie portando il *run* ad essere l'elemento predominante. Le componenti biologiche non mostrano segni di alterazione. Le briglie hanno altezza maggiore di un metro, creando uno sbarramento non superabile dai pesci; ciò penalizza il punteggio ottenuto dal calcolo per l'attribuzione dell'idoneità ittica, che risulta, di conseguenza, poco sufficiente.

VIGN014

| VIGN014 | 1 | 2 | 2b | 3 | 4 | 5 | 6 | 7 | 8 | 9 | 10 | 11 | 12 | 13 | 14 | IFF | |
|---|-----|-----|-----|-----|-----|-----|-----|-----|-----|-----|-----|-----|-----|-----|-----|-----------|---------|
| | TER | VP1 | VP2 | AMP | CON | CID | ESO | RIT | ERO | SEZ | ITT | IDR | CVA | DET | MBT | Punteggio | Livello |
| Dx | 25 | 10 | | 15 | 15 | 20 | 1 | 25 | 15 | 20 | 20 | 15 | 15 | 15 | 20 | 231 | II |
| Sx | 25 | 10 | | 15 | 15 | 20 | 1 | 25 | 15 | 20 | 20 | 15 | 15 | 15 | 20 | 231 | II |
| Fine briglie ravvicinate - fine acqua; lungh: 856 m | | | | | | | | | | | | | | | | | |



Il territorio circostante di entrambe le sponde è dominato dal bosco di conifere. La vegetazione perifluviale, sia destra che sinistra, è composta solo da una formazione arborea autoctona non riparia (in larga misura composta da abeti rossi e bianchi). L'ampiezza è maggiore di 30 m e non sono presenti interruzioni. Il substrato dell'alveo è composto da substrati diversificati, con massi e tronchi, che fungono da ottime strutture di ritenzione degli apporti trofici. I fenomeni erosivi, sebbene non frequenti, sono presenti anche lungo i tratti rettilinei, con limitata incisione verticale del percorso, la sezione è integra. L'idoneità ittica è discreta e l'idromorfologia è di tipo step&pool. Il comparto biologico non mostra segni di alterazione. Nel campionamento della comunità macrobentonica sono stati rinvenuti Plecotteri della fam. Perlodidae, Ephemeropteri Heptagenidae e Baetidae, Ditteri Simuliidae, Tricotteri Rhyacophilidae e Philopotamidae.

VIGN015

Fine acqua – fine rilevamento.

Tratto non rilevato perché privo d'acqua.

Lungh: 161 m

Commento dei risultati IFF

La somma delle lunghezze dei tratti rilevati è di 3312 m.

Il 52% della lunghezza del corso d'acqua in sponda destra assume un giudizio di funzionalità buono mentre in sinistra tale giudizio riguarda il 49% della lunghezza. Il corso d'acqua ottiene un giudizio di funzionalità mediocre per il 34% della lunghezza delle sponde, a causa della presenza di opere antropiche che alterano la morfologia dell'alveo. La funzionalità fluviale del tratto VIGN011 è fortemente compromessa per l'elevato grado di artificializzazione del corso d'acqua: il giudizio di funzionalità è pessimo in sinistra e scadente in destra.

| Funzionalità reale | Lungh. Tot Dx (m) | % Dx | Lungh. Tot Sx (m) | % Sx |
|--------------------|-------------------|------|-------------------|------|
| ottimo | 0 | 0% | 0 | 0% |
| ottimo-buono | 0 | 0% | 0 | 0% |
| buono | 1725 | 52% | 1615 | 49% |
| buono-mediocre | 322 | 10% | 432 | 13% |
| mediocre | 1116 | 34% | 1116 | 34% |
| mediocre-scadente | 0 | 0% | 0 | 0% |
| scadente | 149 | 4% | 0 | 0% |
| scadente-pessimo | 0 | 0% | 0 | 0% |
| pessimo | 0 | 0% | 149 | 4% |

Tabella 2: Percentuale dei giudizi di funzionalità reale in relazione alla lunghezza del corso d'acqua

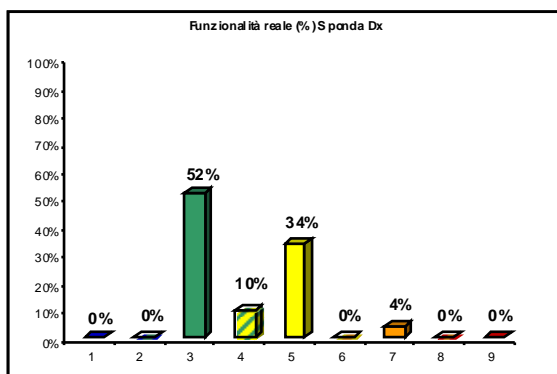


Figura 4a: Grafici della distribuzione percentuale dei giudizi di funzionalità reale per la sponda destra

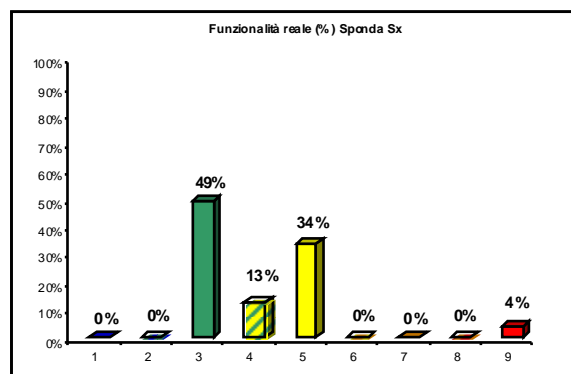


Figura 4b: Grafici della distribuzione percentuale dei giudizi di funzionalità reale per la sponda sinistra

I tratti del rio Vignola rientrano nella categoria tipologia pedemontano (PD) e fondovalle stretto (FS); l'ultimo tratto rilevato appartiene alla categoria montano (MT). Il calcolo della funzionalità fluviale relativa mostra l'aumento di percentuale della lunghezza con giudizio ottimo (32% in entrambe le sponde); i tratti con giudizio di funzionalità reale mediocre passano al giudizio buono-mediocre, mentre il tratto VIGN011 rimane con gli stessi giudizi di funzionalità.

| Funzionalità relativa | Lungh. Tot Dx (m) | % Dx | Lungh. Tot Sx (m) | % Sx |
|-----------------------|-------------------|------|-------------------|------|
| ottimo | 1071 | 32% | 1071 | 32% |
| ottimo-buono | 0 | 0% | 0 | 0% |
| buono | 654 | 20% | 544 | 16% |
| buono-mediocre | 937 | 28% | 1366 | 41% |
| mediocre | 502 | 15% | 183 | 6% |
| mediocre-scadente | 0 | 0% | 0 | 0% |
| scadente | 149 | 4% | 0 | 0% |
| scadente-pessimo | 0 | 0% | 149 | 4% |
| pessimo | 00 | 0% | 0 | 0% |

Tabella 3: Percentuale dei giudizi di funzionalità relativa in relazione alla lunghezza del corso d'acqua

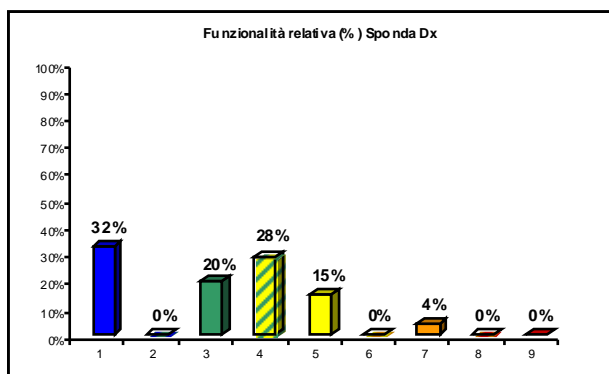


Figura 5a: Grafici della distribuzione percentuale dei giudizi di funzionalità relativa per la sponda destra

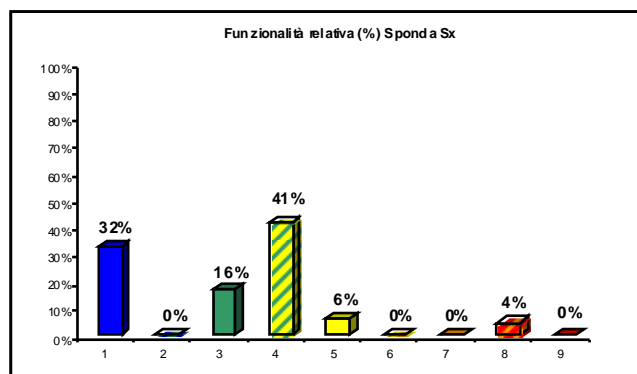


Figura 5b: Grafici della distribuzione percentuale dei giudizi di funzionalità relativa per la sponda sinistra

